



# 地球化學專輯

第 5 輯

地質出版社

# 地球化学专輯

第 5 輯

地質出版社

1959·北京

地 球 化 学 专 輯  
第 5 輯

出 版 者 地 質 出 版 社

北京宣武門外永光寺西街3號

北京市書刊出版業營業許可證出字第050號

發 行 者 新 华 書 店 科 技 發 行 所

經 售 者 各 地 新 华 書 店

印 刷 者 北 京 崇 文 印 刷 厂

崇 外 橋 杆 市 15 號

印數(京)1——4,600冊 1959年8月北京第1版

开本 787×1092 1/25 1959年8月第1次印刷

字數 90,000 印張 4 插頁 2

定 价 (10) 0.57 元

## 目 录

- 苏联各矿床萤石中的稀土元素 ..... О. Г. 科兹洛娃 (5)  
火成岩和交代岩的鋨和鋯的比值  
... А. И. 图加里諾夫, Э. Е. 华依什捷恩和 И. Д. 謝華列耶夫斯基 (21)  
論花崗岩中鈮和銦的分布  
..... Е. В. 兹納明斯基, Л. М. 罗季奧諾娃和 М. М. 卡哈納 (36)  
論苏联酸性岩浆岩中鉍的克拉克值 ... А. А. 別烏斯和 Л. И. 薩日娜 (40)  
俄罗斯地台粘土和碳酸盐岩石中分散鉈和鉻的地球化学  
..... В. И. 巴兰諾夫, А. Б. 罗諾夫和 К. Г. 库納紹娃 (45)  
硫化物的原电溶解和重金属分散量  
..... Г. Б. 斯維什尼科夫及 С. П. 多貝琴 (52)  
硫化物中同位素  $S^{32}$  和  $S^{34}$  的比值  
..... А. П. 維諾格拉多夫, М. С. 丘帕欣及 В. А. 格里年柯 (59)  
关于花崗岩中鈮的分布問題  
..... Л. В. 德米特里也夫和 Е. В. 什納明斯基 (68)  
微矿化溫泉中的氟 ..... А. А. 阿列克賽也夫 (71)  
关于物質成固相和液相的共軛轉移 ..... Я. И. 奧利善斯基 (78)  
人工合成瀝青鉻矿方面的某些經驗  
..... Г. Б. 納烏莫夫及 К. И. 托別爾科 (86)  
藍晶石和紅柱石差热曲綫上的热效应  
..... В. С. 索博列夫和 А. И. 茨維特科夫 (90)  
关于克里米亚草原地下水中碘的地球化学問題 M. H. 波利亚科娃



# 苏联各矿床萤石中的稀土元素

O.T. 科兹洛娃

国立莫斯科 M.B. 罗蒙諾索夫大学结晶学和晶体化学教研室

大家都知道，天然萤石的成份与化学式  $\text{CaF}_2$  并不符合，其中特别是含有不等量的稀土元素。钙和稀土元素的离子半径近似 [1]，这决定了萤石中稀土元素的混入物具有类质同象的性质。正如费奥菲洛夫的著作中所说明的 [2,3]，稀土元素在一定程度上影响着人造萤石的光学性质。在作者的学位论文中也曾证明可以从一定品种的天然萤石中提取人造光学萤石。因而，也就有必要对各矿床的萤石中稀土元素的含量加以鉴定。从萤石内稀土元素含量分析结果中，可以得出许多地球化学的结论。

## 研究方法和分析前准备样品的方法

萤石内的稀土元素用发光法来鉴定。稀土元素在萤石中作为类质同象混入物存在，因而决定了萤石具有强的发光性和清晰的谱线。稀土元素三价离子的萤光谱线非常特殊，并且是典型的线状原子光谱。而其两价离子的光谱并不十分特殊。如果我们将比较微弱的干扰现象忽略不计，那么这些光谱对于各种类型的液体溶液和固体溶液以及大多数有机盐类和无机盐类都是一样的。固体盐类中的阴离子和溶液中的溶剂仅只起着次要的作用。稀土元素离子的发光现象乃是一种缓慢的萤光现象，而具有较大的延续性，其延续时间的级次为  $10^{-3}$  秒。尽管刺激状态的延续性很长，但是稀土元素的萤光现象对于衰竭却非常不敏感。

作为萤光现象激发剂的稀土元素混入物一般不是矿物的主要部分，例如：方解石和磷灰石等。稀土元素的最大含量见于钇氟石 ( $2\text{CaF}_2 \cdot 3\text{YF}_3$ ) 中，它是萤石的一种品种，其中钇族稀土元素浓度达 17%。钇和稀土元素的氟化物可与  $\text{CaF}_2$  形成混合晶体（例如钇

氟石  $\text{CaF}_2-\text{YF}_3$ , 鈰氟石  $\text{CaF}_2-\text{CeF}_3$ ), 后者保存了氟石的构造, 晶格的参数无多大变化。

有关苏联萤石中稀土元素的定量含量的资料, 现在还没有。作者曾根据 П.П. 菲奥菲洛夫和国外学者普热布兰 (K. Przibvam) [5,6]、哈伯兰特 (H. Haberlandt) [7,8] 等人曾作过研究的发光光谱, 鑑定了萤石中的稀土元素。

稀土金属  $\text{Sm}$ 、 $\text{Eu}$ 、 $\text{Gd}$ 、 $\text{Tb}$ 、 $\text{Dy}$ 、 $\text{Ho}$ 、 $\text{Er}$ 、 $\text{Tu}$ 、 $\text{Pr}$ 、 $\text{Nd}$ 、 $\text{Ce}$  可以很容易地鑑定出来; 因为它们的发光光谱已经确定了。而  $\text{La}$ 、 $\text{Yb}$ 、 $\text{Lu}$  在任何类型的溶液和晶体中, 都没有萤光光谱。

溶于  $\text{CaF}_2$  和其他盐类中的三价离子  $\text{Sm}^{+3}$ 、 $\text{Eu}^{+3}$  和  $\text{Yb}^{+3}$ <sup>①</sup>, 如果受到 X 射线和镭射线的刺激, 就转变成二价离子。这种二价离子生成另一种类型的萤光光谱, 由较宽的光带组成。具有这种萤光现象的自然矿物, 显然是在较长的时间内, 遭受着发现此矿物的矿床中某些放射性产物的轻微辐射作用。如果把这种矿物加热到  $100^\circ$  以上, 它们显现出强烈的热致发光现象, 并失去光致发光的能力; 而光致发光现象可以藉镭幅照法得到恢复 [9]。

作者鑑定稀土元素所采用的发光法是很简单的, 而且此法在鑑定稀土元素的准确度方面, 并不亚于其他的方法 (光谱法、化学法、X 射线光谱法), 此外, 稀土元素的发光分析乃是分别地半定量测定极微量稀土元素的唯一方法, 当微量的级次到达  $10^{-2}\%$  和比  $10^{-2}\%$  更小些的时候。

萤石的萤光光谱是用火花萤光镜和摄谱仪摄取的。国立光学研究所设计的萤光镜 (ГОИ) [10] 是由一个不动电极和几个借马达得以旋转的活动电极构成的。在马达轴上旋转的波形圆盘以 2000 圈/分的速度旋转着, 放电的时间它遮住了火花, 因而, 只有在放电的间隔时间内, 通过圆盘的缺口, 才能观察到试验物体 (利用这种方法, 可以观察到连续时间不短于  $10^{-3}$  秒的萤光现象)。试验试样置于直径为 16 毫米并嵌在圆桶内的胶盒中。激发是用短波 (300—250 微米) 紫

① 原文中印作  $\text{Sm}^+$ 、 $\text{Eu}^+$  和  $\text{Yb}^+$ , 今根据内容改为  $\text{Sm}^{+3}$ 、 $\text{Eu}^{+3}$  和  $\text{Yb}^{+3}$  ——译者注。

外綫进行的，此乃鎢电极間生成之火花的一部分（采用高伏特集聚火花 10000 伏特）；变压器的功率为 0.20—0.25 瓦。ГОИ 式燐光鏡比一般装有水銀灯和伍德过滤器（Фильтр Вуда）的分析設備具有更多的优点。首先，它完全沒有背景的混扰作用，因为只有在激发源的作用停止后，才觀察試驗物体的发光現象。其次，所有天然矿物吸收短波紫外綫比长波紫外綫更强烈，因此，矿物在燐光鏡上的发光强度要提高很多。燐光的光綫是通过 ГОИ 式摄譜仪（光力为 1:3.5）的衍射光柵而射出的。为了分解紫外綫，采用希尔格摄譜仪（光力为 1:3.5），此仪器附有石英稜鏡，希氏摄譜仪后用莱斯（Лейса）摄譜仪代替了，此仪器之光力和色散并不亚于前者。色散光的可見光部分拍摄在 1—600 型“全色”底片上。波长标度用氮灯記录在同一张底片上。在照相的时候对光譜的紫外綫部分用“blaurapid”底片；波长标度用水銀灯記录。

研究用的螢石标本是用下列方法制备的。在空气中使螢石在 800°  
(±10°) 的溫度下連續煅烧 10 分鐘。然后必須使标本退火，因为，由于退火，标本对激发作用变得更加《灵敏》。至于沒有煅烧过的标本，其发光現象較弱，发光光譜是由許多扩散帶和較寬的譜綫組成的。将标本退火的第二个原因是：在 800—1000° 的范围内煅烧过的螢石，其光譜发生变化，結果，使含于螢石中的所有希土元素的光譜，变得与人造螢石晶体內所觀察到的光譜一致；而这种人造螢石晶体是用希土元素活化了的。用人造螢石（这些螢石分別地为适当的希土元素活化了的）制备的标准样品来对希土金属加以鑑定，这种一致性是必要的。煅烧后，把螢石放在瑪瑙或碧玉研钵內研磨成粉末。为了保証具有最大的发光面，从而保証被激发的光的强度大，因而研磨是必需的。然后，把一克左右的粉末填入直徑为 16 毫米以石英为底的胶盒內。

在黃紅色光譜区 (700—750 微米) 拍摄螢石的发光現象时，标本曝光每次历时一分鐘。在螢石的这一部分发光光譜內，分布有希土元素三价离子：Pr、Sm、Eu、Tb、Dy 的全部，或差不多全部的輻射譜綫。而 Ho、Er、Tu 的輻射譜綫則在光譜的藍綠色部分 (570—450 微米)。

同样的标本，在蓝綠色部分摄譜时，每次曝光要历时15分鐘， $Gd^{+3}$ 的輻射譜綫在紫外光譜內（310—313微米）。在这一部分摄譜时，同样的标本，每次曝光要历时5分鐘。鈥的輻射譜綫在紅外綫內，因而未能摄譜。

輻射光譜的鑑別是用下法进行的。釔（Gd）的輻射譜綫在紫外光譜內，因而鑑定很简单，即在310—313微米的范围内有譜綫存在。鑑定輻射光譜在可見光譜部分的希土元素則采用标准光譜（图1）。标准光譜摄自人造螢石标本，而这些标本是由天然光学螢石的車間废物制成的。在这种晶体中，每150克加入0.03克希土元素氟化物( $TRF_3$ )，使其占 $2 \times 10^{-3}\%$ ，标准螢石試样摄譜的条件与所研究的螢石摄譜条件相同。

分析的灵敏度約等于 $1 \times 10^{-6}\%$ 。

由此可見，如果在同样的情况下拍摄标准螢石和被研究的螢石时，考慮到它們之間的一些差別；那么，就可以对各矿床的螢石中的希土元素进行半定量的估計。只要将被研究的螢石的輻射譜綫的强度和标准螢石的輻射譜綫的强度加以对比，就可以进行这种估計。

标准希土的輻射譜綫估計的最高，七級（按七級制）。 $Gd^{+3}$  輻射譜綫按十一級制估計，因为它的灵敏度大。作者沒有 $Gd^{+3}$  的标准輻射光譜；因此，沒有引出有关它在螢石中的含量的半定量数据，同时釔在螢石中的相对浓度仍作了估計。

### 鑑定螢石中希土元素的結果

分析資料綜合于下列表中，在表中，分析資料是按希土元素浓度递减而排列的。

而在这个表中各矿床排列的位置是根据該矿床中的含有最多希土元素的螢石而定的。每个元素右方所載数字表示該元素的大約浓度，而以百分数表示：

1— $0.2 \times 10^{-3}$       4— $1.1 \times 10^{-3}$       6— $1.7 \times 10^{-3}$

2— $0.5 \times 10^{-3}$       5— $1.4 \times 10^{-3}$       7— $2.0 \times 10^{-3}$

3— $0.8 \times 10^{-3}$

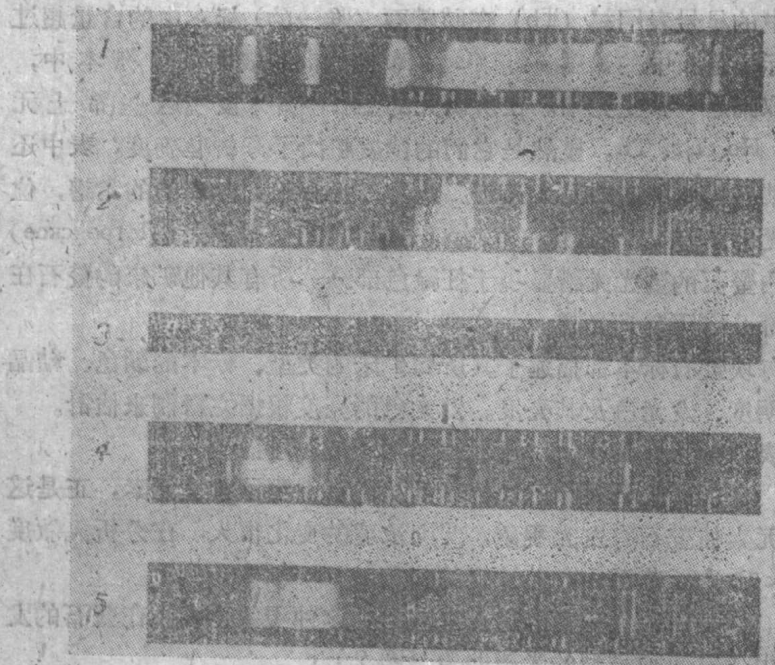


图 1. 三价离子钐 (1), 钕 (2), 钆 (3), 镝 (4), 钕 (5) 的辐射谱线



图 2 在光谱可见部分两种类型的发光光谱:

1.  $\text{Sm}^{3+}, \text{Dy}^{3+}$
2.  $\text{Eu}^{3+}, \text{Tb}^{3+}$

Gd 按十一級制估計。

表中的星号表明铽 (Tb) 在該螢石 (唯一的) 标本中的含量超过了其在标准螢石中的浓度。钆 (Gd) 項內的問號表明在該标本中，沒有攝取到这一希土元素。在所研究的螢石中并未发现这些希土元素：Pr、Ho、Er、Tb。显然是它們的浓度超出了分析准确度。表中还引入了某些标本的連續发光光譜。此乃二价希土元素离子的光譜，位于可見光部分。朱內—薩依 (Джуры—Сай) 和彼得罗夫 (Петровское) 两矿床內螢石的螢光光譜显现于紅綠色部分。所有其他矿床的螢石在藍綠色部分出現螢光光譜。

对每块螢石标本都描述了其所屬矿床的类型、标本的顏色、結晶性、透明度、发光色及其亮度。发光色的亮度根据六級制来估計。

从表中的所有資料里，可以得出如下的結論：

1. 在所有螢石 (除三块标本外) 內都发现了希土元素，正是这些希土元素使螢石有发光現象。TR 浓度的变化很大，在分析灵敏度等于  $1 \times 10^{-5} \%$  范围内，其浓度的变化从  $5 \times 10^{-3} \%$  到 0。

2. 螢石內希土元素的組合有差異。这种現象也表現在螢石的发光光譜中，有两种类型的光譜照象 (图 2)：

I.  $\text{Eu}^{3+}$ 、 $\text{Gd}^{3+}$ 、 $\text{Tb}^{3+}$ 、 $\text{TR}^{2+}$ ； II.  $\text{Sm}^{3+}$ 、 $\text{Gd}^{3+}$ 、 $\text{Dy}^{3+}$ 。

3. 融石并不对任何希土元素有选择集中。但是从表中的資料可以得出这样的結論：够的分布量虽然很大，然而，它在热液成因螢石中的含量少于铕 (Eu)，特別少于铽。

4. 浓度最大的希土元素見于与鹹性岩石有直接关系热液矿床的螢石中。以外貝加尔的螢石为例，螢石距离热液-花崗岩源愈远，其中 TR 的浓度便愈小。中亚細亚大多数矿床的螢石的特征是希土元素的浓度較小。而且，其中希土元素含量的变化小于外貝加尔湖螢石內希土元素的变化。

5. 沉积岩中，除灰岩外 (黏土頁岩、砂岩、碎屑岩)，皆包含有螢石；而这种螢石貧于希土元素。

6. 二价希土元素見于貧含三价希土元素的螢石中。按普热布兰

[4] 的見解，这种情況下的螢石在很长的時間內遭受着矿床內某种放射性产物的微弱輻射。由于这种輻射作用，“溶解”于  $\text{CaF}_2$  中的三价釤、铕、鑷轉變成二价的离子，这些离子产生的螢光光譜是由寬的光帶組成的。从表中看出，三价釤和二价希土元素在含量方面呈明显的相反的关系，这一点是很有意义的。

7. 呈帶状染色的螢石之特点乃是其中希土元素的浓度各不相同：綠色——浓度最大，紫色——最小。当然，例外也是有的。

8. 在同一矿床的螢石內，希土元素浓度的变化有时非常大。例如，泰麦尔（Таймыр）矿床的无色透明結晶螢石里，未曾發現过希土元素。此矿床內，外部特征与上相同的螢石卻含有大量的 Eu、Gd、Tb 和二价的希土元素。

螢石是属于对一切希土元素都沒有选择集中能力的矿物；这就使得我們有某种根据推断在螢石中存在着一些用发光法不能鑑定出的希土元素。这是指：La 和 TR; Ce、Nd、Yb、Lu。根据这样一个概念：在螢石中希土元素的比值在其浓度上是保存下来了的；可以認為：当用发光法测定的希土元素的浓度很大时，相应地，La、Ce、Nd、Yb、Lu 的浓度亦大；反之亦然，含鈇族希土很多的螢石中，其中大部分是釤、鈇、釔，因为它們的分布量大。鈇的大量存在决定了这种螢石不适于作为制备人造螢石晶体（人造螢石晶体对紫外光譜是透明的）的原料。三价鈇的离子对紫外光譜具有强烈的吸收現象。寬广的吸收带的极大点位置近于  $325\text{m}\mu$  处。吸收的同时伴随着强烈的发光現象，这种发光現象带有散漫的光譜，分布于近紫外綫部分。三价鈇离子存在于螢石中（特別是当其浓度很大时），由于其在紫外光譜范围内强烈吸收，是很不好的（图 3）。在釔族希土的浓度很大的螢石中存在着大量的釔，这也使得螢石的質不合用。釔在  $365\text{m}\mu$  附近形成深凹的吸收带（图 3）。但是， $307\text{m}\mu$  附近的那条吸收带，目前还未得到解釋。因此，釔族希土在螢石中的含量高时也如同鈇族希土一样，是不好的。但是，希土元素在螢石（例如泰麦尔矿床、克列麦特-塔茲矿床等）中的浓度过小时也使得它不适于作为培育紫外光的光学螢石人造晶体的原料。这种晶体当其受到紫外綫或其它較短波的射綫輻射时，

各矿床含石的稀土元素

編號	矿床类别 (含石的围岩, 硅质) 或因)	矿床名稱	鑿石的顏色 和透明白度	鑿石的顏色 和透明白度	发光 度		希土 元素 种类	希土 元素 种类 及濃 度
					发光颜色的亮度	发光强度		
1	矽石伟晶岩, 低温热液	波阿契伏斯尔 (Tlaoayu-mopp) (希宾区)	微紫色, 顯晶質, 半透 明	黄色	6	$\text{Sm}_{(4)}\text{Eu}_{(5)}\text{Gd}_{(7)}\text{Tb}_{(8)}\text{*Dy}_{(6)}$	30	
2	流纹岩灰砾岩和流纹岩 热液的	波谷昌 (Bonyah) (阿提尔省)	浅綠, 差不多透明, 顯 晶質	黄色	6	$\text{Sm}_{(2)}\text{Eu}_{(6)}\text{Gd}_{(11)}\text{Tb}_{(7)}\text{Dy}_{(3)}$	29	
3	花岗岩, 高温热液, 花 岗岩侵入体、花岗闪长岩	杜利杜尔加 (Dumayra) (外贝加尔区)	綠色, 顯晶質, 不透明	黄色	6	$\text{Sm}_{(1)}\text{Eu}_{(6)}\text{Gd}_{(10)} ; \text{Tb}_{(7)}\text{Dy}_{(3)}$	27	
	同 上	同 上	白色, 结晶性差, 半透 明	浅橙黄色	5	$\text{Eu}_{(3)} ? \text{Tb}_{(5)}\text{Dy}_{(1)}$		
	同 上	同 上	紫色, 结晶性差, 不透 明	浅橙黄色	5	$\text{Eu}_{(3)} ? \text{Tb}_{(4)}\text{Dy}_{(2)}$		
4	伟晶岩脉中, 矿晶片岩 和花岗岩体的接触带	烟海缘矿山 (乌拉 山)	无色, 结晶, 透明	黄色、 绿色	5	$\text{Sm}_{(3)}\text{Eu}_{(3)}\text{Gd}_{(8)}\text{Tb}_{(7)}\text{Dy}_{(5)}$	26	
	同 同	同 同	无色, 结晶, 透明	黄色	5	$\text{Sm}_{(2)}\text{Eu}_{(2)} ? \text{Tb}_{(7)}\text{Dy}_{(4)}$		
	同 同	同 同	烟色, 结晶, 半透明	紫色	2	$\text{Eu}_{(2)} ? \text{Tb}_{(2)}$		
5	花岗岩, 高温热液, 花 岗岩侵入体和花岗闪长岩	奥波盧依 (Otonuy) (外贝加尔区)	綠紫色, 结晶性差, 不 透明	黄色	6	$\text{Sm}_{(1)}\text{Eu}_{(6)}\text{Gd}_{(9)}\text{Tb}_{(7)}\text{Dy}_{(4)}$	25	
6	砂卡岩化灰岩	翁卡-萨依 (Ynka-Sai) (中亚细亚)	绿色, 结晶, 半透明	黄色	5	$\text{Sm}_{(1)}\text{Eu}_{(6)}\text{Gd}_{(10)}\text{Tb}_{(7)}\text{Dy}_{(5)}$	23	

热液成因的，据推測可能与碱性岩石有关(?)	同	上	藍綠色，隱晶質，不透明	淺黃色	5	$\text{Sm}_{(2)}\text{Eu}_{(2)}$ ? $\text{Tb}_{(7)}\text{Dy}_{(3)}$			
灰岩和花崗岩有关，热液交代的，在或用上与花崗岩有关	伊尔宾矿床 (Ильинский) (西西伯利亚)	同	无色，結晶，半透明	黄色	5	$\text{Sm}_{(1)}\text{Eu}_{(3)}\text{Gd}_{(3)}\text{Tb}_{(7)}\text{Dy}_{(3)}$	23		
含磁铁矿的花岗岩，高温热液的	塞洛直拉矿床 (Солоуровский) (外贝加尔区)	同 上	无色，結晶，半透明	黄色	5	$\text{Sm}_{(1)}\text{Eu}_{(2)}$ ? $\text{Tb}_{(4)}\text{Dy}_{(3)}$	22		
花岗岩侵入体	同	同	紫色，結晶，不透明	紅黃色	5	$\text{Eu}_{(3)}\text{Gd}_{(3)}\text{Tb}_{(6)}$			
花岗岩侵入体	同	同	无色，結晶，半透明	紅色	5	$\text{Eu}_{(2)}\text{Gd}_{(8)}\text{Tb}_{(5)}$ (散漫的譜線)			
花岗岩侵入体	同	同	鮮次生色， $\text{Eu}_{(2)}$ ，透弱 綠色，結晶，半透明	玫瑰紅色	3	$\text{Sm}_{(1)}$ $\text{Gd}_{(2)}$			
喷出岩，花崗岩，中温热液的	阿巴蓋爾依 (Абагарын) (外贝加尔区)	同	無色，結晶，半透明	黄色	5	$\text{Sm}_{(2)}\text{Eu}_{(2)}\text{Gd}_{(3)}\text{Tb}_{(6)}\text{Dy}_{(4)}$	22		
花崗岩侵入体	同	同	玫瑰色，隱晶質，不透明	鮮藍色	4	$\text{Eu}_{(3)}\text{Gd}_{(8)}\text{Tb}_{(6)}$			
同	同	同	暗色，結晶，不透明	藍黃色	5	$\text{Sm}_{(3)}$ $\text{Gd}_{(7)}$ ? $\text{Dy}_{(6)}$			
同	同	同	暗藍色，結晶，不透明	玫瑰藍色	5	$\text{Eu}_{(1)}\text{Gd}_{(6)}\text{Tb}_{(5)}$ (散漫的譜線)			
富合伟晶岩石英脉的花崗岩	塔科布(Takob— 在中亚细亚)	同	无色，隱晶質，半透明	鮮藍色	4	$\text{Eu}_{(1)}\text{Gd}_{(7)}\text{Tb}_{(2)}$			
高温热液的	同	同	玫瑰色，結晶，透明	黄色	5	$\text{Sm}_{(1)}\text{Eu}_{(2)}\text{Gd}_{(3)}\text{Tb}_{(6)}\text{Dy}_{(3)}$	20		
			白色，結晶，不透明	鮮紫色	4	$\text{Eu}_{(2)}$ ? $\text{Tb}_{(3)}\text{Dy}_{(1)}$			
			綠色，結晶，半透明	黄色	3	$\text{Sm}_{(1)}$ ? $\text{Dy}_{(6)}$			

編號	矿床类 (繁石的围岩, 繁石的 成因)	矿床名 称	繁石的顏色、結 晶性和透 明 度	发光顏色的亮 度	希 土 元 素		希 土 元素 的相 对濃 度
					希 土	元 素	
11	大理岩化灰岩, 低温热 液的, 酸性侵入体和震石 正长岩侵入体	卡茲諾克东 (Казнок—ВОСТОЧН.) (中亚细亚)	鮮蓝色, 结晶性差, 透 明	鮮暗黄色	5	$\text{Eu}_{(4)}\text{Gd}_{(9)}\text{Tb}_{(6)}$	19
12	花崗岩类岩石, 热液的	卡拉-奧巴 (Кара-оба) (哈薩克斯坦)	綠色, 结晶, 半透明	玫瑰黄色	4	$\text{Eu}_{(3)}\text{Gd}_{(9)}\text{Tb}_{(6)}$ (散漫的譜線)	18
13	砂岩和黏土页岩, 石榴 石化的砾岩-片麻岩, 低 温热液, 花崗岩及花崗岩 类岩石的侵入体	塔明加 I (Тамга I) (外貝加尔区)	灰色, 结晶性差, 半透 明	蓝色	5	$\text{Eu}_{(3)}\text{Gd}_{(9)}\text{Tb}_{(6)}$	17
14	为花崗岩和花崗閃長岩 穿插的热岩和熱十頁岩, 低温热液的, 花崗岩侵入 体	捷华比亞特尼察 (捷瓦比亞特尼察) (外貝加尔区)	綠色, 结晶性差, 不透 明	黄色	5	$\text{Eu}_{(3)}\text{Gd}_{(9)}\text{Tb}_{(6)}$	16
15	花崗伟晶岩 (石英-錫 石可脉) (高温热液的花崗 岩侵入体)	沙巴尔图依 (Шабартуи) (外貝加尔区)	浅紫绿色, 结晶, 半透 明	黄色	5	$\text{Eu}_{(3)}\text{Gd}_{(9)}\text{Tb}_{(6)}\text{Dy}_{(3)}$	16
16	灰岩	奧拉赫瑪特 (Орхомут) (中亚细亚)	浅紫色, 结晶, 半透明	黄色	5	$\text{Eu}_{(3)}\text{Gd}_{(6)}\text{Tb}_{(6)}\text{Dy}_{(3)}$	16
	热液变质的, 估计与正 冲岩有关	同 上	浅綠色, 结晶, 半透明	黄色	5	$\text{Eu}_{(2)}\text{Gd}_{(4)}\text{Tb}_{(6)}$	
	花崗閃長岩, 热液的	納烏加爾贊 (Наурзан) (中亚细亚)	无色, 结晶, 半透明	黄色	6	$\text{Sm}_{(2)}\text{Eu}_{(1)}\text{Gd}_{(4)}\text{Tb}_{(6)}\text{Dy}_{(3)}$	
	花崗閃長岩, 热液的	同 上	綠色, 结晶, 不透明, 含鷄	玫瑰紫色	1		

18	大理岩化灰岩，低温热液的，碱性和霞石正长岩侵入体	西卡兹斯克 (中亚细亚) (Кузбасск) (ЧАС)	白色，结晶性差，不透明	玫瑰蓝色	5	$\text{Eu}_3\text{Gd}_{(6)}\text{Tb}_{(6)}$ (微漫的谱线)	15
19	灰岩，低温热液的 碱性侵入体和霞石正长岩侵入体	车里-依-科斯 (Киль-и-косы) (中亚细亚)	绿色，结晶，透明	黄色	5	$\text{Eu}_{(2)}\text{Gd}_{(6)}\text{Tb}_{(6)}$	15
		同 上	无色，结晶，透明	浅黄色	3	$\text{Eu}_{(1)}\text{Gd}_{(7)}\text{Tb}_{(6)}\text{Dy}_{(1)}$	
		同 上	玫瑰色，结晶，半透明	玫瑰紫色	3	$\text{Eu}_{(1)}\text{Gd}_{(8)}\text{Tb}_{(6)}$ (微漫的谱线)	
		同 上	暗紫色，结晶，半透明	浅紫色	3	$\text{Eu}_{(1)}\text{Gd}_{(8)}\text{Tb}_{(6)}$	
20	灰岩和沙質黏土岩，低温热液的、輝綠岩侵入体	哈依达尔康 (Хайдаркан) (中亚细亚)	黑色，近于土状，不透明	黄色	4	$\text{Eu}_{(2)}\text{Gd}_{(8)}\text{Tb}_{(6)}$	15
		恰什雷 (Чашлы) (中亚细亚)	无色，结晶，半透明	黄色	5	$\text{Eu}_{(2)}\text{Gd}_{(6)}\text{Tb}_{(6)}\text{Dy}_{(1)}$	
21	灰岩和分異灰岩	同 上	绿色，结晶，半透明	紫色	5	$\text{Sm}_{(2)}\text{ ? }$	15
		同 上	紫色，结晶，不透明	玫瑰紫色	4	$\text{Sm}_{(1)}\text{ ? }$	14
22	大理岩化灰岩和花崗閃長岩，热液的 据推測与碱性岩有关 (?)	十月矿脉 (中亚细亚)	无色，结晶，半透明	玫瑰黄色	5	$\text{Eu}_{(2)}\text{Gd}_{(6)}\text{Tb}_{(6)}$	
		同 上	绿色，结晶，半透明	紫紅色	4	$\text{Eu}_{(2)}\text{Gd}_{(7)}\text{Tb}_{(6)}$ (微漫的谱线)	
23	白云石，石膏，硬石膏 夹层	泰米尔矿床	紫色，结晶，不透明	紫色	4	$\text{Eu}_{(2)}\text{ ? }$	14
			无色，结晶，透明	浅紫色	4	$\text{Eu}_{(2)}\text{Gd}_{(8)}\text{Tb}_{(6)}$ (微漫的谱线)	

号 号	矿床类 (基岩的围岩, 矿石) 型 (成因)	矿床名 称	萤石的 晶性和透 明度	发光 发色 度	希土元 素		希土 元素相 对强 度
					发光颜色 度	发光的亮 度	
24	低温热液的, 距离閃長 岩侵入体不远。与此侵入 体的关系尚未確切查明。	同上	无色, 精品, 透明, 在 γ射線的照射下, 染成蓝色	蓝色	1		
25	花崗岩类岩石, 热液的 云英岩化花崗閃長岩, 共 中含氟碳鈣鉆矿	阿克卡-塔(Акка- Тау) 哈薩克斯坦 (Джети-Озек)	紫色、染成銀色, 结晶, 半透明	紅黃色	5	$\text{Eu}_{10}\text{Gd}_7\text{Tb}_3\text{Dy}_{11}$ (發漫的譜線)	13
26	角岩, 热液的, 与矽性正 长岩有关	吉达(Джада) 朱內-薩依(Нижнэ- Сай) (中亚细亚)	紅紫色, 结晶, 半透明	棕櫚黃色	6	$\text{Eu}_{11}\text{Gd}_7\text{Tb}_3\text{Dy}_{11}$ (發漫的譜線)	13
27	黑云母片岩, 热液侵入体有 关	努拉-达尔通(Hypa- Talud) (哈薩克斯坦)	无色, 结晶, 半透明	紅色	5	$\text{Eu}_{12}\text{Gd}_6\text{Tb}_3\text{Dy}_{11}$ (發漫的譜線)	12
28	花崗岩, 高温热液内, 与 花崗岩侵入体有关	烏普柳古依 (Уп- лодук) (外贝加尔区)	綠色, 结晶, 半透明	玫瑰色	4	$\text{Sm}_{10}\text{Gd}_8\text{Tb}_3\text{Dy}_{11}$ (發漫的譜線)	12
29	花崗伟晶岩	斯柳泡克 (外贝加尔 区)	紫色, 精品, 透明	黄色	3	$\text{Eu}_{12}\text{Gd}_6\text{Tb}_3\text{Dy}_{11}$	11
30	灰岩、砂岩和黏土页岩, 热 液的, 与石英閃長岩有关	塔斯干-塔尔(Taska- Rtau) (哈薩克斯坦) 同上	綠色, 结晶, 半透明	紫黃色	4	$\text{Eu}_{12}\text{Gd}_6\text{Tb}_3\text{Dy}_{11}$	11
		同上	无色, 结晶, 不透明	紫玫瑰色	4	$\text{Eu}_{12}\text{Gd}_5\text{Tb}_4\text{Dy}_{11}$	11
		同上	浅紫色, 结晶, 半透明	黃紫色	4	$\text{Eu}_{12}\text{Gd}_{10}\text{Tb}_3\text{Dy}_{11}$	11
		同上	紫色, 土状, 不透明	黄色	2	$\text{Eu}_{12}\text{Gd}_4\text{Tb}_4\text{Dy}_{11}$	11